



تأثیر امواج فراصلوت روی اندازه ذرات، رنگ، گرانروی و ویژگی‌های حسی شیر کاکائو

محبوبه استادزاده^۱ - سلیمان عباسی^{۲*} - محمدرضا احسانی^۳

تاریخ دریافت: ۹۰/۳/۷

تاریخ پذیرش: ۹۰/۱۰/۱۱

چکیده

از آنجایی که در دهه‌های اخیر فرراصوت به عنوان یک ابزار موثر در هموژنیزاسیون و کاهش اندازه ذرات مورد استفاده قرار گرفته است بنابراین، در بررسی حاضر برای نخستین بار تأثیر امواج فرراصوت در شدت‌ها، زمان‌ها و دمای‌های مختلف روی اندازه ذرات کاکائو، ویژگی‌های چشایی، رنگ و گرانروی شیر کاکائو (۰/۰۲۰ درصد کاکائو-کاراگینان، ۷ درصد شکر و ۱/۵ درصد وزنی پودر کاکائو) ارزیابی شد. نتایج نشان داد که با افزایش شدت و زمان تیمار، اندازه ذرات کاکائو بیشتر کاهش یافت. اندازه ذرات کاکائو در دمای ۶۵°C کوچک‌تر از دمای ۴۵°C و ۲۵°C بود. نمونه‌های پایدار شده شیر کاکائو نیز رفتار نیوتی داشتند. همچنین نمونه شاهد، گرانروی پایین‌تری نسبت به نمونه‌های تیمار شده با امواج فرراصوت داشت و با افزایش شدت و زمان اعمال امواج فرراصوت، گرانروی کاهش یافت. در ضمن، شاخص L^* نمونه‌های تیمار شده با امواج فرراصوت بیشتر از نمونه شاهد بود و با افزایش زمان و شدت، این ضریب افزایش یافت. اگرچه فرایند فرراصوت سبب کاهش میزان رسوب در شیر کاکائو شد و نمونه‌های تیمار شده با امواج فرراصوت از لحظه طعم، امتیاز کم‌تری نسبت به نمونه شاهد کسب کردند؛ ولی، پذیرش کلی نمونه‌های فرایند شده تفاوت معنی‌داری با نمونه شاهد نداشت. با توجه به یافته‌های این بررسی، امواج فرراصوت روشی جدید، سریع و کارا است، که قادر به تولید شیر کاکائوی پایدار با ویژگی‌های رنگ، گرانروی و حسی قابل رقابت با نمونه‌های تیمار شده با حرارت بوده و بهای تنیتیپ، چشم‌انداز جدیدی در رابطه با کاربرد آن در صنایع شیر مطرح می‌گردد.

واژه‌های کلیدی: شیر کاکائو، فرراصوت، رنگ، ویژگی حسی

سبب افزایش راندمان و کاهش هزینه تولید محصول می‌شود (Knorr et al., 2004).

فرراصوت در چند سال اخیر به عنوان یک ابزار موثر در تولید امولسیون، هموژنیزاسیون، استخراج، کریستالیزاسیون، پاستوریزاسیون در دمای پایین، خردک، غیرفعال‌سازی و فعال‌سازی آنزیم‌ها و میکروب‌ها، کاهش اندازه ذرات و تغییر گرانروی، انتقال گرما و فیلتراسیون مورد استفاده بوده است (قبادی و عباسی، ۱۳۸۸؛ Bates, 2008). در ضمن، کارایی امواج فرراصوت در هموژنیزاسیون شیر به اثبات رسیده و نتیجه بهتری در مقایسه با هموژنایزرهای مرسوم داشته است (Bermudez-Aguirre et al., 2009).

اصولاً امواج فرراصوت از طریق پدیده حفره‌گی (کاویتاسیون) با ایجاد حباب در سیال به شکل مکانیکی سبب کوچک‌ترشدن اندازه ذرات می‌شود. در سامانه‌های ناهمگنی مثل شیر، بیشتر تاثیرات مکانیکی امواج فرراصوت به حفره‌گی پایدار و ناپایدار نسبت داده می‌شود. در ضمن، از هم پاشیدن حباب‌های حاصل از حفره‌گی گرمای محلی شدید و فشار بالایی تولید می‌کنند که این تنش‌ها و از هم پاشیدن مکرر حباب‌ها به دیواره سلولی آسیب می‌رسانند. این آسیب‌های شدید، تنش‌های مکانی و زودگذری را بر سطح ذرات ایجاد

مقدمه

امروزه مصرف شیرهای طعم‌دار در حال رشد است که در این میان، شیر کاکائو شناخته شده‌ترین و مورد قبول‌ترین نوع شیرهای طعم‌دار است. شیر کاکائو عموماً از اختلاط شیر (تازه یا بازساخته)، شکر، پودر کاکائو و هیدروکلولوئید تهییه می‌شود. جلوگیری از ناپایداری فیزیکی شیر کاکائو یکی از چالش‌های بزرگ در صنایع غذایی (صنایع شیر) است (Speerer & Mixa, 1998). به همین دلیل، در سال‌های اخیر با توجه به پیشرفت تکنولوژی، استفاده از روش‌های نوین در بهبود کیفیت و کاهش زمان فرآیندهای مورد غذایی مورد کاربرد قرار گرفته‌اند. یکی از روش‌های نوین استفاده از فرایند فرراصوت می‌باشد. فرایند فرراصوت مزایای اساسی نسبت به سایر روش‌ها دارد. این روش نیاز به آماده‌سازی نمونه نداشته، دقیق و نسبتاً ارزان است و

۱- به ترتیب دانش‌آموخته کارشناسی ارشد علوم و صنایع غذایی واحد علوم و تحقیقات دانشگاه آزاد تهران

۲- دانشیار گروه علوم و صنایع غذایی دانشگاه تربیت مدرس (Email : sabbasi@modares.ac.ir)

۳- استاد گروه علوم و صنایع غذایی واحد علوم و تحقیقات دانشگاه آزاد تهران

شیر کاکائو مورد مطالعه قرار گیرد.

مواد و روش‌ها

مواد

هیدروکلورئید مورد استفاده در این پژوهش کاپا-کاراگینان بود که از شرکت مواد شیمیایی فلuka (Fluka) خریداری شد. پودر کاکائو (Klüger) (Cocoa powder) محصول شرکت کلوگر کشور آلمان (Cocoa powder)، شیر پاستوریزه کم چرب ۱/۵ درصد چربی، ماده خشک با چربی ۹/۵±۰/۲٪، شکر (صنایع قند و شکر ایران) از سوپر مارکت محلی تهیه شدند. سدیم آزاد نیز از شرکت مواد شیمیایی مرک (Merck Chemical Co. Darmstadt, Germany)

روش‌ها

- تهیه شیر کاکائو

برای این منظور ابتدا ۱۵ درصد وزن شیر در حمام آبگرم تا دمای ۲۰°C گرم شد، سپس مخلوط پودر کاکائو (۱/۵ درصد)، شکر (۷ درصد) و کاپا-کاراگینان (۰/۰۲۰ درصد) به آرامی به شیر اضافه و توسط همزن مغناطیسی هم زده شد. آنگاه مخلوط حاصله تا دمای ۵۰° به مدت ۲۰ دقیقه حرارت داده شد. سپس آن را به حجم کل شیر اضافه کرده و به مدت ۲۰ دقیقه با همزن مغناطیسی هم زده شد. در ضمن، سدیم آزاد (۰/۰۴ درصد) چهت جلوگیری از رشد میکروبی به نمونه‌ها اضافه شد (Abbas & Dickinson, 2002; 2004).

جهت انتخاب نمونه‌های پایدار، نمونه‌های شیر کاکائو به لوله‌های آزمایش استریل منتقل و درب آنها با پارافیلم و فویل آلومینیومی بسته شد و به مدت یک ماه در دمای یخچال نگهداری شدند. هر آزمایش در سه تکرار انجام گردید.

- تاثیر تیمار فراصوت

به منظور بررسی تاثیر تیمار فراصوت از دستگاه سونیکاتور Misonix مدل ۴۰۰۰ ساخت کشور آمریکا (توان اسمی ۶۰۰ وات و بسامد ۲۰ کیلوهرتز) با پروروب High gain horns میلی‌لیتر از ۱۹ میلی‌متر استفاده شد. برای اعمال فراصوت مقدار ۱۵۰ میلی‌لیتر از شیر کاکائو به بشر شیشه‌ای ۲۵۰ میلی‌لیتری منتقل و پروروب در عمق ۲ سانتی‌متری از سطح شیر کاکائو قرار داده شد. سپس، نمونه‌ها در معرض توان‌های مختلف ۲۰، ۶۰ و ۱۰۰ درصد در زمان‌های ۲، ۶ و ۱۰ دقیقه قرار گرفتند. توان اسمی ۲۰، ۶۰ و ۱۰۰ درصد تقریباً معادل ۲۴، ۷۲ و ۱۲۰ وات عملی بود. در ضمن، چهت بررسی تاثیر حرارت بر اندازه ذرات کاکائو از دماهای مختلف ۲۵°C، ۴۵°C و ۶۵°C هنگام اعمال امواج فراصوت استفاده شد. هم‌زمان با اعمال امواج فراصوت

می‌کنند که به قطعه قطعه شدن ذرات می‌انجامد (قبادی و عباسی، ۲۰۱۰: ۱۳۸۸). همچنین، عنوان شده که با اعمال نیروی فراصوت در مخلوطی از ذرات مایع، حباب‌ها در نزدیکی سطح رانده می‌ترکند و یک جریان با سرعت بالای مایع به سمت ذرات رانده می‌شود و این جریان سریع می‌تواند سطوح را بزداید و به مواد سلولی آسیب برساند و در نتیجه سبب شکستن پیوندهای شیمیایی شود. به عبارت دیگر اثر فراصوت در هموژنیاسیون گویچه‌های چرب از نوع مکانیکی است (Ertugay & Sengul, 2004). اساساً، با توجه به توضیحات بالا به نظر می‌رسد که شاید یک راه کار اصلی برای افزایش پایداری شیر کاکائو و کاهش میزان رسوب کاکائو به کاهش اندازه ذرات کاکائو مربوط می‌باشد.

استفاده از امواج فراصوت در صنایع لبنی در مقالات زیادی بحث شده است، ولی تاکنون مطالعه‌ای روی تاثیر امواج فراصوت بر ذرات کاکائو در شیر و ویژگی‌های حسی و فیزیکی انجام نشده است و عدمه تحقیقات روی ساختار و ترکیبات شیر بوده است. اولین کاربرد فراصوت در هموژنیاسیون توسط Chambers (۱۹۳۷) انجام شد. وی این روش را روشی موثر برای کاهش اندازه گویچه‌های چرب بیان کرد. طبق نظر Lundh و Tornberg (۱۹۷۸) نیز دلیل اصلی شکستن گویچه‌های چرب بوسیله امواج فراصوت پدیده کاویتاسیون است. Ertugay و Sengul (۲۰۰۴) نیز تاثیر هموژنیازیاسیون با امواج فراصوت در ۲۰ kHz را مطالعه و نتایج را با هموژنایزرهای مرسوم مقایسه نمودند. اندازه ذرات چربی بعد از هموژنایزر مرسوم ۲-۵ μm بود. آن‌ها نتیجه گرفتند که فراصوت نتیجه بهتری در هموژنیاسیون شیر در مقایسه با هموژنایزرهای مرسوم دارد و با افزایش زمان، تاثیر آن افزایش می‌یابد (Ertugay & Sengul, 2004). همچنین، براساس برخی گزارش‌ها، امواج فراصوت در شدت و بسامدهای مختلف سبب تغییرات ناخواسته (برای مثال دناتوراسیون پروتئین‌های سرمی و ایجاد رادیکال‌های آزاد) در شیر می‌شود که با طراحی مناسب فرایند و استفاده از سردکننده در طول فراوری می‌توان تا حدودی اثرات غیرعمدی دمای بالا را کاهش داد (Herceg et al., 2009).

البته، نسبت به روش فراوری حرارتی، میزان دناتوراسیون پروتئین‌های سرمی در این روش کمتر می‌باشد (Riener et al., 2009a). اخیراً فرایندهای شیمیایی که در طی پدیده کاویتاسیون رخ می‌دهند هم توسط محققین مورد بحث و بررسی قرار گرفته و گزارش شده که امواج فراصوت می‌توانند با تولید ترکیبات بنزن، تولوئن، ۵-متیل ۱ و ۳-سیکلوبنتادین و ۱ و ۳-بوتادین موجب ایجاد طعم لاستیکی در شیر شوند (Riener et al., 2009b).

با توجه به مطالب گفته شده و با توجه به نبود هرگونه سندی در ارتباط با تاثیر امواج فراصوت روی شیر کاکائو، در بررسی حاضر سعی شد تا تأثیر ترکیبی شدت، دما و زمان‌های مختلف اعمال امواج فراصوت روی اندازه ذرات کاکائو، ویژگی چشایی، رنگ و گرانروی

استفاده از مقدار گشتاور و گرانروی مربوط به هر سرعت چرخشی و با کمک فرمول‌های ریاضی، مقادیر تنش برشی و سرعت برشی برای ترسیم نمودار جریان محاسبه شد (Mitscka, 1982; Sun, 2005).

$$\tau_i = k_{at} \alpha_i \quad (2)$$

$$\gamma_i = k_{N\gamma} \eta N_i \quad (3)$$

$$\eta = \log \tau_i - \log N_i \quad (4)$$

در اینجا، τ_i = تنش برشی، γ_i = سرعت برشی، α_i = گشتاور و k_{at} و $k_{N\gamma}$ مقادیر ثابت هستند (Mitscka, 1982).

- ارزیابی حسی

برخی ویژگی‌های حسی نمونه‌ها (شامل طعم و مزه، قوام، رنگ و پذیرش کلی) در چهارچوب آزمون هدونیک پنج نقطه‌ای (۱، ۲، ۳، ۴ و ۵ به ترتیب معادل خیلی بد، بد، متوسط، خوب و خیلی خوب) توسط ارزیاب (در محدوده سنی ۲۳–۴۸ سال) ارزیابی شد. بنابراین، حداقل امتیاز کسب شده برای هر صفت حسی ۱ و حداقل امتیاز ۵ بود. نمونه‌های تهیه شده پس از بسته‌بندی و کدگذاری (به صورت شماره‌های سه رقمی تصادفی) در یخچال نگهداری شدند. روز بعد، نمونه‌ها پس از خروج از یخچال (۵ درجه سانتی‌گراد) در اختیار ارزیابها قرار گرفتند تا مطابق برگه نظرخواهی نمونه‌های شیر کاکائو را از لحاظ ویژگی‌های حسی مورد نظر ارزیابی قرار دهند. سپس میانگین امتیازات حاصل برای هر یک از صفات حسی محاسبه و با استفاده از روش مقایسه‌ی چند دامنه‌ای دانکن میزان معنی‌دار بودن اختلاف بین نمونه‌ها تعیین شد (محمدی و همکاران، ۱۳۸۹؛ Clark, 2009; Azarikia & Abbasi, 2010).

تجزیه و تحلیل آماری

با توجه به طراحی پژوهش (فاکتوریل در قالب طرح پایه کاملاً تصادفی)، برای ارزیابی آماری داده‌ها از نرم افزار SPSS 16.0 (SPSS Inc.) استفاده گردید. در رابطه با اندازه‌گیری اندازه ذرات کاکائو، با انتخاب ۳۰ ذره کاکائو به طور تصادفی برای هر یک از حالت‌های مختلف شدت، زمان و دما و محاسبه میانگین اندازه ذرات، با استفاده از روش مقایسه‌ی چند دامنه‌ای دانکن میزان معنی‌دار بودن S-PLUS انجام گرفت. در ضمن، اغلب آزمایش‌ها در سه تکرار انجام گردیدند.

نتایج و بحث

تاثیر تیمارهای مختلف روی اندازه ذرات کاکائو

نتایج تجزیه واریانس نشان داد که اثرات متقابل سه گانه شدت، زمان و دما در سطح ۹۵ درصد معنی‌دار می‌باشد. بنابراین، در ادامه این

دماهی نمونه‌ها با حس‌گر حرارتی کنترل و جهت تنظیم دما از حمام آب سرد و بخ استفاده شد. پس از اتمام تیمار، نمونه‌ها تا ۸°C سرد شدند.

- بررسی‌های میکروسکوپی

به منظور بررسی ریزساختار نمونه‌های شیر کاکائو و تهیه عکس‌های میکروسکوپی از میکروسکوپ نوری Olympus (مدل Provis) مجهز به دوربین دیجیتالی Olympus (مدل DP12) ساخت کشور آمریکا استفاده شد. این دستگاه با استفاده از نرم افزار Olyvia bioreport، امکان بزرگنمایی ذره تا ۲۰۰۰ برابر را دارد. پس از ریختن ۱۰ میکرومتر از نمونه روی لام و قرار دادن لام روی نمونه، از بزرگنمایی ۱۰۰۰ (۱۰۰× عدسی شیئی) برای بررسی اندازه ذرات کاکائو استفاده شد (Ertugay & Sengul, 2004).

- اندازه‌گیری رنگ

رنگ نمونه‌ها با استفاده از دستگاه رنگ‌سنج Hunter Lab Colorflex 4510 ساخت آمریکا ارزیابی شد. بعد از کالیبره کردن دستگاه، نمونه‌های شیر کاکائو در ظرف مخصوص دستگاه ریخته شد به گونه‌ای که کمی بالاتر از واشر داخل ظرف قرار گیرد و پس از قرار دادن در بپوش ظرف، سه شاخص L^* ، a^* و b^* از روی صفحه نمایش گر دستگاه خوانده شد. در این روش، شاخص L^* عددی بین ۰ تا ۱۰۰ (نشان‌گر سیاهی تا سفیدی نمونه)، شاخص a^* عددی بین -۱۰۰ تا +۱۰۰ (+: قرمز، -: سبز) و شاخص b^* عددی بین -۱۰۰ تا +۱۰۰ (+: زرد، -: آبی) بود. تغییرات کلی رنگ (ΔE^*) نیز به کمک فرمول زیر محاسبه شد (آذری و همکاران، ۱۳۸۷).

$$\Delta E^* = (\text{نمونه } L^* + a^* + b^*) - (\text{استاندارد } L^* + a^* + b^*) \quad (1)$$

$$b^* - a^* - b^* - L^* \quad \text{استاندارد: } ۹۲/۲۳ \quad \text{استاندارد: } ۱/۲۹ \quad \text{استاندارد: } ۱/۱۹$$

- اندازه‌گیری گرانروی

گرانروی نمونه‌ها با استفاده از دستگاه گرانروی سنج برنامه‌پذیر Brookfield Engineering RVDV-II+ مدل Laboratoires. Inc. USA) و دوک شماره ۲ اندازه‌گیری شد. در ابتدا مقداری نمونه، تا رسیدن به خط نشانه دوک، درون بشر ۶۰۰ میلی‌لیتری DURAN (Schott) منتقل شد. سپس گرانروی هر یک از نمونه‌ها در شرایط دمایی 1 ± 20 درجه سانتی‌گراد و سرعت‌های چرخشی مختلف (۲۰۰، ۲۰۰، ۱۸۰، ۱۶۰، ۱۵۰، ۱۴۰، ۱۳۵، ۱۴۰، ۱۵۰، ۱۶۰، ۱۸۰، ۲۰۰، ۲۵۰، ۳۰۰، ۴۰۰، ۵۰۰ دور در دقیقه) بر حسب mPa.s اندازه‌گیری شد. اندازه‌گیری گرانروی در کلیه تیمارها ۳ بار تکرار شدند و میانگین داده‌ها مبنای بررسی و گزارش‌ها قرار گرفتند عباسی و رحیمی، ۱۳۸۴؛ فروغی‌نیا و همکاران، ۱۳۸۶).

جدول ۱- تجزیه واریانس اندازه ذرات کاکائو بر اساس عامل‌های شدت، زمان و دما

میانگین مربعات		درجه آزادی	شاخص‌ها
اندازه ذرات کاکائو (میلی‌متر)			
۲۰۲/۵۷**	۲		شدت
۴۸/۹۱**	۲		زمان
۱۱۹/۸۱**	۲		دما
۳/۹۲**	۴		شدت* زمان
۲/۵۰*	۴		شدت* دما
۰/۶۵ns	۴		زمان* دما
۱/۹۲*	۸		شدت* زمان* دما

علائم * و ** به ترتیب نشان‌دهنده اختلاف معنادار در سطح ۵ ($p < 0.05$) و ۱ درصد ($p < 0.01$) می‌باشند. ns یعنی در اختلاف‌ها در سطح ۵ درصد نیز معنادار نیست.

نسبت به زمان‌های ۲ و ۶ دقیقه دارد و در این مدت زمان (منظور ۱۰ دقیقه) اندازه ذرات کاکائو کوچکتر از زمان‌های دیگر است. در شدت‌های دیگر نیز همین نتیجه مشاهده شد که با افزایش مدت زمان ساده زمان در سطوح مختلف نیز مشاهده شد که با افزایش زمان تیمار با فراصوت، اندازه ذرات کاکائو کاهش یافت. دلیل این امر، شاید مشابه اثر شدت باشد. با این توضیح که با افزایش زمان به علت افزایش طول مدت اثرات گفته شده، کاهش بیشتری در اندازه ذرات کاکائو دیده شد.

ج- بررسی اثر ساده دما در سطوح مختلف شدت و زمان: با افزایش دما در زمان ثابت ۱۰ دقیقه و غلظت ۰/۰۲۰ درصد کاراگینان، اندازه ذرات کاکائو کاهش یافت. به طوری که اندازه ذرات کاکائو از ۴/۳۱ میلی‌متر در دمای ۲۵ درجه سانتی‌گراد به ۲/۹۸ میلی‌متر در دمای ۶۵ درجه سانتی‌گراد رسید. این روند در زمان‌های دیگر نیز مشاهده شد (جدول ۲). در رابطه با اثر ساده دما در سطوح مختلف هم مشاهده می‌شود که اندازه ذرات کاکائو با افزایش دما کوچکتر شد که این امر احتمالاً بخشنی به خاطر کاهش گرانروی شیر کاکائو در دمای‌های بالاتر و بخشی مربوط به اثر دما روی نرم‌تر شدن پودر کاکائو و در نهایت شکسته شدن آسان تر آن‌ها باشد. شکل ۱ تصاویر میکروسکوپی نمونه‌های شیر کاکائوی تیمار شده در دمای ۶۵ درجه سانتی‌گراد را در شدت و زمان‌های مختلف در غلظت ۰/۰۲ درصد کاپا-کاراگینان نشان می‌دهد. همان‌طور که مشاهده می‌شود با افزایش شدت و زمان تیمار با فراصوت، اندازه ذرات کاکائو کوچکتر می‌شود.

بررسی به دلیل معنی‌دار بودن اثرات متقابل، اثرات اصلی شدت، زمان و دما مورد بحث قرار نگرفت (جدول ۱).

الف- بررسی اثر ساده شدت در سطوح مختلف زمان و دما: همان‌طور که مشاهده می‌شود (جدول ۲) با افزایش شدت، اندازه ذرات کاکائو کاهش می‌یابد و در شدت ۱۰۰ درصد کوچکتر از شدت‌های ۲۰ و ۶۰ درصد می‌باشد. در بررسی اثر ساده شدت فراصوت در سطوح مختلف ملاحظه شد که با افزایش شدت فراصوت، اندازه ذرات کاکائو کاهش یافت. دلیل این تاثیر همان‌گونه که در مقدمه نیز گفته شد پدیده حفره‌گی و گرمای موضعی شدید و فشار بالای حاصل از متلاشی شدن حباب‌های کاویتاسیون است که این تنش‌ها و از هم پاشیدن مکرر حباب‌ها موجب حرکت سریع جریان مایع به سمت ذرات پودر کاکائو شده و مقاومت آن‌ها در برابر جریان مایع، منجر به آسیب به دیوار ذرات می‌شود. در نتیجه، این آسیب‌های شدید تنش‌های مکانی و زودگذری را بر سطح ذرات جامد کاکائو تولید و به قطعه قطعه شدن ذرات می‌انجامد (Sun, 2005). در ضمن، طبق قانون Stokes ذرات کوچکتر مدت زمان طولانی‌تری قادر به معلق ماندن در شیر می‌باشند. به همین دلیل، اعمال تیمار فراصوت باعث افزایش پایداری و یا به عبارت دیگر کاهش میزان رسوب و دو فاز شدن در شیر کاکائو شد. نتایج این تحقیق موید مطالعات قبلی در رابطه با اثر فراصوت روی اندازه گویچه‌های چربی در شیر گاو و شیر سویا می‌باشد (Ertugay & Sengul, 2004; Bosiljkov *et al.*, 2004).

ب- بررسی اثر ساده زمان در سطوح مختلف شدت و دما: با توجه به مقایسه میانگین اندازه ذرات کاکائو در شدت ۱۰۰ درصد و ۰/۰۲۰ درصد کاراگینان، مشاهده می‌شود که زمان ۱۰ دقیقه تاثیر بیشتری

جدول ۲- مقایسه میانگین اثر متقابل دما، زمان و شدت در غلظت ثابت 0.020 g/g درصد کاراگینان بر اندازه ذرات کاکائو در شیر کاکائو کم چرب

دما ($^{\circ}\text{C}$)	زمان (دقیقه)	شدت (درصد)	اندازه ذرات کاکائو	(میکرون) (میلی‌متر)
				$6/32 \pm 1/0.5^b$
				$6/24 \pm 1/1.0^b$
				$5/0.9 \pm 0.93^a$
				$6/22 \pm 1/1.0^c$
				$5/38 \pm 0.9^b$
				$4/26 \pm 0.99^a$
				$6/17 \pm 0.69^c$
				$4/93 \pm 0.94^b$
				$4/31 \pm 0.81^a$
				$6/19 \pm 1/1.8^b$
				$5/84 \pm 0.93^b$
				$4/55 \pm 0.8^a$
				$6/10 \pm 1/1.9^b$
				$4/38 \pm 1/0.4^a$
				$4/0.3 \pm 0.84^a$
				$5/9.0 \pm 0.71^c$
				$4/35 \pm 0.88^b$
				$3/50 \pm 0.75^a$
				$5/31 \pm 1/0.1^c$
				$4/55 \pm 0.72^b$
				$3/75 \pm 0.55^a$
				$4/9.0 \pm 0.76^c$
				$4/0.6 \pm 0.67^b$
				$3/37 \pm 0.73^a$
				$4/36 \pm 0.57^b$
				$3/82 \pm 1/1.3^b$
				$2/9.8 \pm 1/2.8^a$

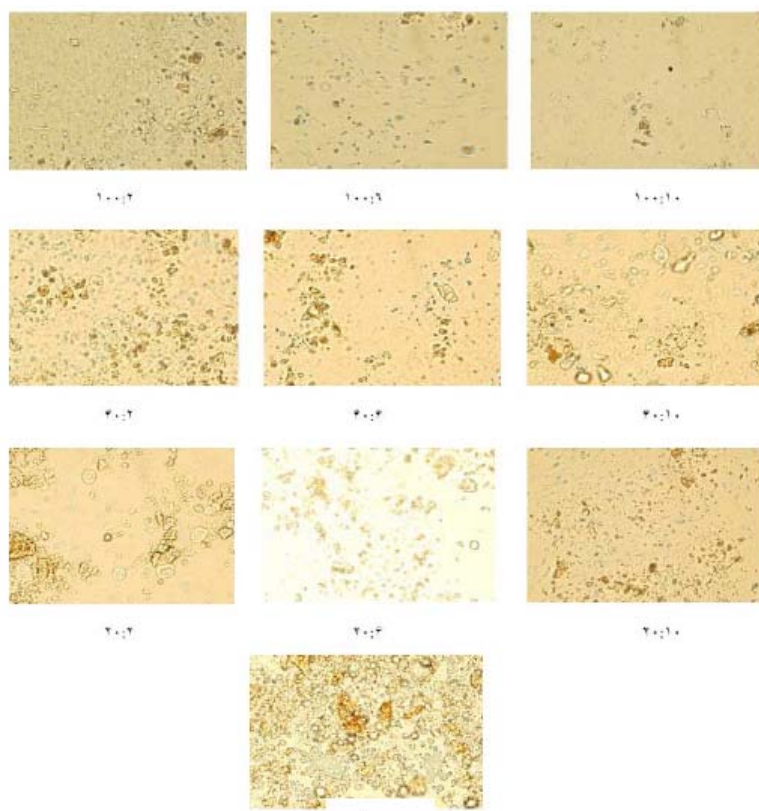
حروف مختلف در هر بخش نشان‌دهنده اختلاف معنادار در سطح ($p < 0.05$) می‌باشد.

است که علاوه بر آن، در بازه‌ی کوچک‌تر و نرمال‌تری قرار دارند. نتایج این مدل با تصاویر بدست آمده از میکروسکوپ نوری (شکل ۲) مطابقت دارند.

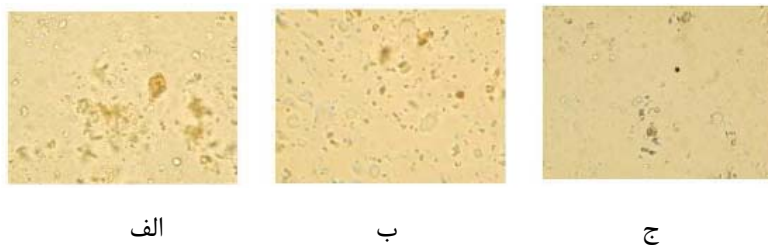
تاثیر ترکیبی تیمارها روی شاخص‌های رنگ شیر کاکائو
همان‌طور که در جدول ۳ مشاهده می‌شود نمونه‌های تیمار شده با امواج فرماصوت ضریب L^* بالاتری نسبت به نمونه شاهد دارند و با افزایش زمان و شدت این ضریب افزایش می‌یابد.

بررسی تاثیر دمای مختلف اعمال امواج فرماصوت بر اندازه ذرات کاکائو در شدت ۱۰۰ درصد، مدت زمان ۱۰ دقیقه و 0.020 g/g درصد کاپا-کاراگینان، در شکل ۲ نشان داده شده است. همان‌گونه که دیده می‌شود با افزایش دما از 25°C به 65°C درجه سانتی‌گراد، اندازه ذرات کاکائو کوچک‌تر شده و به صورت همگن‌تری در شیر کاکائو پراکنده شده‌اند (شکل ۲).

همان‌طور که در شکل ۳ نیز ملاحظه می‌شود، تعداد بیشتری از ذرات کاکائو تیمار شده در دمای 65°C درجه سانتی‌گراد، در محدوده $-0.6 \text{ میکرومتر} (\text{میکرون})$ قرار دارند. یعنی دمای 65°C درجه سانتی‌گراد نسبت به دو دمای دیگر، ذرات کوچک‌تری از کاکائو را ایجاد کرده



شکل ۱- تصاویر ریزساختاری (بزرگنمایی چشمی: ۱۰۰*) نمونه‌های شیر کاکائو تیمار شده در شدت و زمان‌های مختلف (نقاط قهوه‌ای نشان‌دهنده ذرات کاکائو می‌باشند)

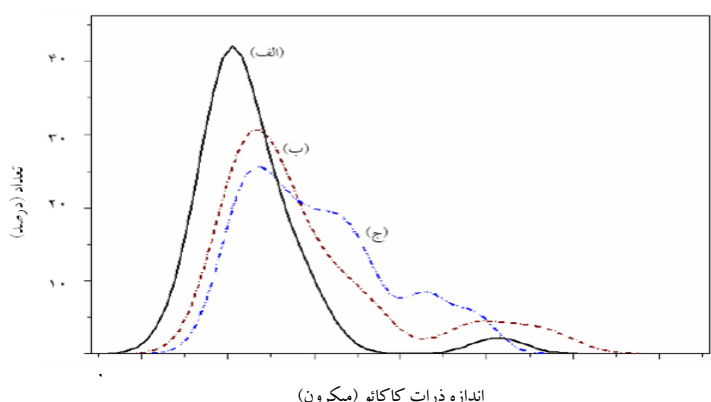


شکل ۲- تاثیر دماهای مختلف (الف) ۲۵ درجه سانتی‌گراد، (ب) ۴۵ درجه سانتی‌گراد و (ج) ۶۵ درجه سانتی‌گراد. روی اندازه ذرات پودر کاکائو در شیر کاکائوی تیمار شده با فراصوت در شدت ۱۰۰ درصد، مدت زمان ۱۰ دقیقه.

ساختار گویچه‌های چربی در شیر پس از تیمار حرارت-فراصوت گزارش کردند که ضریب L^* (روشنی رنگ) بعد از تیمار حرارت-فراصوت به طور معنی‌داری بیشتر از نمونه بدون اعمال حرارت و امواج فراصوت بود.

همچنین، ΔE^* (تغییرات کلی رنگ) در نمونه تیمار شده با امواج فراصوت بالاتر از نمونه شیرخام و شیر حرارت دیده بود. ایشان همگن‌سازی بهتر گویچه‌های چرب توسط امواج فراصوت را دلیل افزایش این ضریب عنوان کردند.

به همین دلیل در نگاه اول، نمونه‌های تیمار شده با امواج فراصوت نسبت به نمونه شاهد سفیدتر به نظر می‌رسیدند. دلیل آن را احتمالاً می‌توان به همگن‌سازی بهتر نمونه‌های تیمار شده با امواج فراصوت و شکسته شدن گویچه‌های چربی و ذرات کاکائو نسبت داد. چرا که در رابطه با شیر عنوان شده که اندازه گویچه‌های چربی، توزیع اندازه پروتئین‌های شیر، بروز واکنش مایلارد، دناتوراسیون و انعقاد پروتئین‌های سرمی از جمله عوامل موثر در رنگ شیر می‌باشند. در همین ارتباط، Bermudez-Aguilarre و همکاران (۲۰۰۸) با بررسی



شکل ۳- تاثیر دماهای مختلف (الف) ۶۵ ، (ب) ۴۵ و (ج) ۲۵ درجه سانتی گراد روی توزیع اندازه ذرات کاکائو در شیر کاکائو تیمار شده با فراصوت (شدت ۱۰۰ درصد و مدت زمان ۱۰ دقیقه).

نمونه با شدت ۱۰۰ درصد و زمان ۱۰ دقیقه دیده می‌شود (جدول ۳). همانطور که مشاهده شد نمونه شاهد دارای ضریب a^* بالاتری نسبت به نمونه‌های تیمار شده با امواج فراصوت بود که دلیل آن احتمالاً به اندازه ذرات کاکائو مربوط می‌باشد. احتمالاً این ذرات به علت چگالی بالاتر در حین اندازه گیری رنگ رسوب کرده و سبب افزایش رنگ قرمز در نمونه شاهد شده‌اند. در نمونه‌های تیمار شده با امواج فراصوت، با افزایش شدت و زمان، به دلیل کوچکتر شدن و پراکندگی بهتر ذرات کاکائو در شیر کاکائو، این ضریب افزایش می‌یابد.

تاثیر ترکیبی تیمارها بر گرانروی شیر کاکائو

تاثیر سرعت چرخشی (۰/۰۲ تا ۰/۰۲۰ دور بر دقیقه) بر گرانروی پنج نمونه نهایی در شکل ۴ الف نشان داده شده است.

زیرا با کوچک‌تر شدن ذرات چربی پراکنش نور افزایش می‌یابد و این تغییر منجر به افزایش ضریب L^* و ΔE^* می‌گردد (۲۴). در تحقیقی دیگر که توسط Riener و همکاران (۲۰۱۰) انجام شد ماست فراوری شده با امواج فراصوت ضریب L^* بالاتر و ضریب a^* پائین‌تری نسبت به ماست تولیدی با روش حرارتی داشت. ایشان بیان کردند که چون با فراوری شیر توسط امواج فراصوت در دمای پایین‌تر، واکنش‌های قهقهه‌ای شدن غیر آنزیمی کمتر ایجاد می‌شود از این رو ضریب L^* افزایش می‌یابد.

در ضمن نمونه شاهد دارای ضریب a^* بالاتری بود و با افزایش شدت، زمان و غلظت کاراگینان این مقدار افزایش یافت. نتایج حاصل از تجزیه واریانس داده‌ها در سطح ۹۵ درصد نیز اختلاف معنی‌داری بین نمونه‌ها در ضریب b^* نشان نداد. همچنین، همانطور که مشاهده می‌شود با افزایش زمان و شدت تیمار با فراصوت، اختلاف رنگ افزایش می‌یابد و بیشترین اختلاف رنگ (ΔE^*) بین نمونه شاهد و

جدول ۳- تاثیر شرایط مختلف تیمار با امواج فراصوت بر برحی شاخص‌های رنگ شیر کاکائو کم چرب

ΔE^*	b^*	a^*	L^*	شماره نمونه	
				شاهد (۰/۰۲۰)	۰/۰۲۰:۰/۰۲۰
---	۱۰/۳۷ ^a	۹/۸۵ ^c	۴۲/۶۷ ^a	(۰/۰۲۰)	۰/۰۲۰:۰/۰۲۰
۳/۷۹ ^a	۱۰/۲۴ ^a	۹/۳۰ ^{ab}	۴۶/۴۶ ^{bc}	۱۰۰:۰/۰۲۰	۰/۰۲۰:۰/۰۲۰
۵/۸۲ ^b	۹/۸۳ ^a	۹/۶۵ ^{bc}	۴۸/۵۹ ^{bc}	۱۰۰:۱۰:۰/۰۲۰	۰/۰۲۰:۰/۰۲۰
۳/۴۲ ^a	۹/۹۷ ^a	۹/۲۶ ^a	۴۶/۰۱ ^b	۶۰:۱۰:۰/۰۲۰	۰/۰۲۰:۰/۰۲۰
۶/۵۱ ^c	۹/۷۴ ^a	۹/۴۴ ^{ab}	۴۹/۲۴ ^c	۱۰۰:۱۰:۰/۰۱۵	۰/۰۲۰:۰/۰۱۵

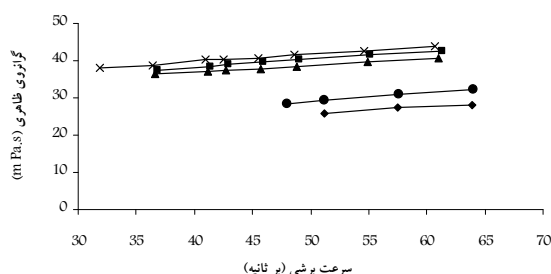
حروف متفاوت در هر ستون نشان‌دهنده اختلاف معنی‌دار در سطح ۱ درصد می‌باشند.

(۲۰۰۹a) نتیجه افزایش گرانزوی ماست تولیدی با شیر تیمارشده با امواج فراصوت را گزارش کردند. در رابطه با تاثیر امواج فراصوت روی افزایش گرانزوی ایزوله پروتئین آب پنیر (WPI) و کنسانتره پروتئین، آب پنیر (WPC) نتیجه گفته شده که احتمالاً تغییر ساختار پروتئین، قرارگیری گروههای آب دوست در سطح، افزایش قابلیت اتحال، دناتوراسیون پروتئین‌های سرمی شیر، و برهم‌کنش بین این ذرات منجر به افزایش گرانزوی می‌شود (Ahmed *et al.*, 2010).

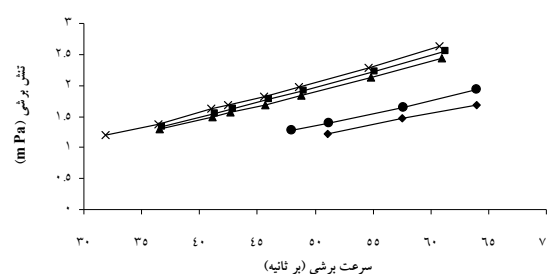
اصولاً با در دست داشتن مقدار گشتاور و گرانزوی مربوط به هر سرعت چرخشی، می‌توان با کمک فرمول‌های ریاضی مقادیر تنفس برشی و سرعت برشی را محاسبه کرد (Mitschka, 1982). که نتایج آن در شکل ۴ ب نشان داده شده است. همان‌گونه که مشاهده می‌شود این نمودارها از معادله درجه اول تبعیت می‌کنند.

تاثیر سرعت چرخشی بر گرانزوی نمونه تیمار شده با امواج فراصوت در شدت ۱۰۰ درصد، زمان ۱۰ دقیقه و غلظت کاراگینان ۵٪ درصد، در سه دمای ۲۵، ۴۵ و ۶۵ درجه سانتی‌گراد در شکل ۵ نشان داده شده است. همان‌طور که مشاهده می‌شود نمونه تیمار شده در دمای ۴۵ درجه سانتی‌گراد گرانزوی بالاتری در تمام سطوح سرعت چرخشی نسبت به دو دمای دیگر دارد. احتمالاً دلیل این رفتار متفاوت در دامنه‌های دمایی مختلف، تشکیل ریز ساختار نسبتاً پیوسته و مستحکم در دمای ۴۵ درجه نسبت به دمای ۲۵ درجه و شاید سستی بیش از حد این ساختار در دمای ۶۵ درجه حتی نسبت به دمای ۲۵ و ۴۵ درجه باشد. همان‌طور که در نتایج این بررسی مشاهده شد، نمونه‌های تیمار شده در دمای ثابت ۴۵ درجه سانتی‌گراد، به ترتیب نمونه‌های ۱۰:۰۰:۶۰ و ۱۰۰:۱۰ گرانزوی بالاتری داشتند در حالی که بعد از اندازه‌گیری حجم فازهای شیری و کاکائویی بعد از ۳۰ روز نگهداری در دمای یخچال، نمونه ۱۰:۰۰:۱۰ فاز شیری کمتر و فاز کاکائویی بیشتری داشت.

میزان گرانزوی تمام نمونه‌ها با افزایش سرعت چرخشی، افزایش محسوسی نیافت و نمونه‌ها رفتار نیوتینی داشتند. در پژوهش‌های گذشته نتیجه نیز به افزایش گرانزوی در اثر افزودن هیدرولوکلوبیڈها و رفتار نیوتینی در شیر کاکائو اشاره شده است (Yanes *et al.*, 2002). هم‌چنین، گرانزوی نمونه‌های تیمار شده با امواج فراصوت بالاتر از نمونه شاهد بود. همان‌طور که مشاهده می‌شود نمونه‌های حاوی ۰٪ درصد کاراگینان تیمار شده با امواج فراصوت گرانزوی بالاتری نسبت به نمونه تیمار شده با امواج فراصوت در غلظت ۰٪ درصد کاراگینان دارند و بین نمونه‌ها با غلظت ۰٪ درصد کاراگینان، به ترتیب نمونه‌های تیمار شده در شرایط ۱۰:۰۰:۶۰ و ۱۰۰:۱۰ گرانزوی بالاتری داشتند. احتمالاً دلیل پایین تر بودن گرانزوی شاهد نسبت به نمونه‌های تیمار شده با امواج فراصوت کوچک شدن ذرات کاکائو و زنجیره پلی‌ساقاریدی کاپا-کاراگینان توسعه امواج فراصوت می‌باشد، که منجر به برهم‌کنش بینتر کاراگینان، ذرات کاکائو و میسل‌های کازئین شده است. علاوه بر این، با کوچکتر شدن ذرات کاکائو توسعه امواج فراصوت، این ذرات به طور بهتری در شبکه کاراگینان پراکنده می‌شوند از این رو نمونه‌های تیمار شده با امواج فراصوت گرانزوی بالاتری نسبت به نمونه شاهد داشتند. اصولاً در مایعات بسیار غلیظ، گرچه امواج فراصوت بسته به شدت سبب کاهش گرانزوی می‌شود ولی اندازه ذرات و اثر متقابل ذرات نیز نقش مهمی در گرانزوی دارند. به طوری که معمولاً با کاهش اندازه ذرات گرانزوی کاهش ولی با رسیدن به اندازه مشخصی، به دلیل افزایش ذرات کوچک و یا افزایش برهم‌کنش بین این ذرات، گرانزوی شروع به افزایش می‌کند (Soria & Villamiel, 2010). Wu و همکاران (۲۰۰۱) نیز در بررسی خود مشاهده کردند که افزایش شدت و زمان اعمال امواج فراصوت بر شیر، به دلیل ایجاد اختلال در ساختار سوم و چهارم میسل کازئین، افزایش کازئین در دسترس و ایجاد شبکه قویتر منجر به افزایش گرانزوی در ماست گردید. Riener و همکاران (Riener, 2001) نیز در بررسی خود مشاهده کردند که افزایش شدت و زمان اعمال امواج فراصوت بر شیر، به دلیل ایجاد اختلال در ساختار سوم و چهارم میسل کازئین، افزایش کازئین در دسترس و ایجاد شبکه قویتر منجر به افزایش گرانزوی در ماست گردید.



الف



ب

شکل ۴- نمایش ارتباط (الف) سرعت چرخشی و گرانزوی (ب) سرعت برشی و تنفس برشی نمونه‌های شیر کاکائو (● نمونه شاهد، ■ ۱۰۰:۰:۰، ▲ ۱۰۰:۰:۱۰، ○ ۱۰۰:۱۰:۰ و × ۱۰۰:۱۰:۱۰)

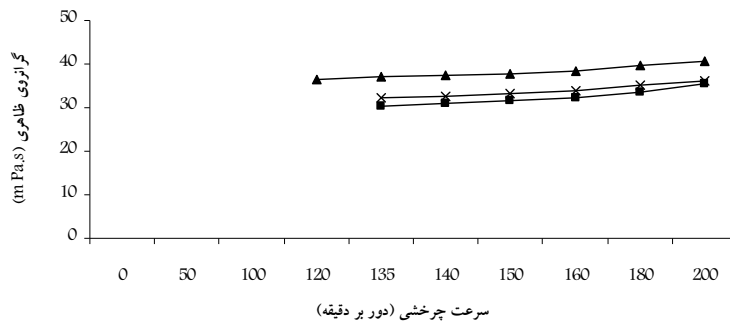
مختلف به همراه نمونه شاهد (تیمار نشده) مورد آزمون حسی قرار گرفت، که نتایج حاصل از ارزیابی حسی در جدول ۴ آورده شده‌اند. همان‌گونه که دیده می‌شود مقایسه‌ی میانگین امتیازات کسب شده برای صفات طعم و مزه، قوام، رنگ و پذیرش کلی حاکی از وجود تفاوت معنی‌دار میان نمونه‌ها و نمونه شاهد است ($p < 0.05$).

در ارزیابی نمونه‌های شیرکاکائو توسط ارزیاب‌ها، وجود طعم لاستیکی در نمونه‌های تیمارشده با امواج فراصوت گزارش شد و همان‌طور که در جدول ۴ مشاهده می‌شود نمونه شاهد بالاترین امتیاز را داراست و بعد از آن نمونه ۱۰۰ درجه سانتی‌گراد و کمترین مربوط به نمونه ۱۰ می‌باشد. در ارتباط با دلیل ایجاد طعم لاستیکی در شیر فراوری شده با فراصوت، Riener و همکاران (۲۰۰۹b) با استفاده از کروماتوگرافی گازی، ترکیبات فرار شیر فراوری شده با امواج فراصوت را بررسی کردند. نتایج کروماتوگرافی گازی وجود ترکیبات بنزن، تولوئن، ۵-متیل ۱ و ۳-سیکلوپنتادین و ۱ و ۳-بوتادین را نشان داد. به گفته این محققین وجود این ترکیبات سبب ایجاد طعم لاستیکی در شیر می‌شود. احتمالاً به همین دلیل در شیرکاکائوهای تولید شده در بررسی حاضر نیز طعم لاستیکی توسط ارزیاب‌ها گزارش شد که این موضوع یکی از محدودیت‌های استفاده از این روش برای فراوری چنین فراورده‌هایی می‌باشد.

به عبارت دیگر، نمونه ۱۰۰ پایدارتر از نمونه‌های دیگر بود. احتمالاً دلیل این تفاوت این بود که نمونه تیمار شده در شدت ۶۰ درصد نسبت به نمونه تیمار شده در شدت ۱۰۰ درصد تحت تاثیر امواج فراصوت باشد کمتر قرار گرفته بود، از این‌رو به دلیل بزرگتر بودن زنجیره پلیمری کاپا-کاراگینان و هم‌چنین ذرات چربی و کاکائو، گرانروی بالاتری داشت. در بررسی اندازه ذرات کاکائو با میکروسکوپ نوری نیز مشخص شد که اندازه ذرات کاکائو در شدت ۶۰ درصد بزرگتر از شدت ۱۰۰ درصد می‌باشد. احتمالاً به دلیل بزرگتر بودن ذرات کاکائو در این شدت، با وجود گرانروی بالاتر، بعد از ۳۰ روز نگهداری در دمای یخچال، پایداری کمتری داشت. در این ارتباط گزارش شده است که هرگاه اندازه ذرات از منافذ موجود در شبکه کوچک‌تر باشند به راحتی در داخل شبکه جای می‌گیرند، بدون اینکه در شبکه پارگی ایجاد کنند. اما اگر اندازه ذرات از اندازه‌ی منافذ شبکه بزرگ‌تر باشند، شبکه را پاره کرده و سبب کاهش پایداری می‌شوند (Syrbe et al., 1998).

تاثیر ترکیبی تیمارها روی برخی ویژگی‌های حسی شیرکاکائو

در این بخش نمونه‌های شیرکاکائو پایدار شده توسط تیمارهای



شکل ۵- تاثیر دماهای مختلف (\times ۲۵ درجه سانتی‌گراد، \blacktriangle ۴۵ درجه سانتی‌گراد و \blacksquare ۶۵ درجه سانتی‌گراد) روی گرانروی شیر کاکائو (۱۰۰:۱۰) در سرعت‌های چرخشی مختلف

جدول ۴- تاثیر تیمارهای مختلف فراصوت روی برخی ویژگی‌های حسی شیر کاکائو پایدار شده

شماره نمونه	ویژگی حسی	طعم و مزه	قوام	رنگ	پذیرش کلی
شاهد					
۱۰۰:۶:۴۵		۲/۶۵ ^a	۲/۸۵۰ ^a	۲/۴۵ ^a	۳/۴۵ ^a
۱۰۰:۱۰:۴۵		۲/۶۵ ^a	۴/۰۰ ^b	۳/۴۵ ^a	۲/۹۵ ^a
۶۰:۱۰:۴۵		۲/۵۵ ^a	۲/۵۰ ^a	۳/۵۰ ^a	۲/۹۰ ^a
۶۰:۱۰:۴۵		۳/۲۰ ^{ab}	۳/۴۰ ^a	۳/۴۵ ^{ab}	۳/۰۰ ^a
۱۰۰:۱۰:۶۵		۲/۵۰ ^a	۳/۲۰ ^a	۳/۶۵ ^b	۲/۹۵ ^a

حرروف مختلف در هر ستون نشان‌دهنده اختلاف معنادار در سطح ($p < 0.05$) می‌باشد

نتیجه‌گیری

نتایج حاصل از بررسی تاثیر تیمار فراصوت بر پایداری فیزیکی، اندازه ذرات کاکائو و ویژگی‌های حسی شیر کاکائو نشان داد که با افزایش شدت و زمان اعمال امواج فراصوت، اندازه ذرات کاکائو بیشتر کاهش یافته‌است. اگرچه فرایند فراصوت سبب کاهش میزان رسوب در شیر کاکائو شد، اما نمونه‌های تیمار شده با امواج فراصوت از لحاظ طعم به دلیل احساس طعم لاستیکی امتیاز کمتری نسبت به نمونه شاهد کسب کردند؛ ولی، پذیرش کلی نمونه‌های فرایند شده تفاوت معنی‌داری با نمونه شاهد نداشت. بهترین نمونه، شیر کاکائوی تیمار شده با امواج فراصوت در شدت ۱۰۰ درصد فراصوت، مدت زمان ۱۰ دقیقه، دمای ۴۵ درجه سانتی‌گراد و غلظت ۰/۰۲ درصد کاراگینان بود که بعد از ۳۰ روز نگهداری در دمای یخچال کاملاً پایدار بود. در ضمن، نتایج این بررسی برای نخستین بار نشان داد که از توانایی انرژی فراصوت می‌توان برای کاهش اندازه ذرات بسیار سخت مانند ذرات کاکائو به منظور تولید شیر کاکائوی پایدار استفاده نمود. البته به کارگیری این روش مشکلاتی نیز داشت که به برخی از آن‌ها در متن مقاله اشاره شد.

از آنجایی که با اعمال امواج فراصوت، پلی‌ساقاریدهای جدیدی ایجاد می‌شوند که با گذشت زمان، این پلی‌ساقاریدها نیز شکسته و به دلیل کاهش وزن مولکولی میزان گرانروی محلول کاهش می‌یابد (۳۱). لذا انتظار می‌رفت که با اعمال امواج فراصوت، با افزایش زمان و شدت، قوام نمونه‌ها تغییر یابد با این وجود، هیچ‌گونه تفاوت معنی‌داری از لحاظ قوام توسط ارزیاب‌ها مشخص نشد. احتمالاً هر چند امواج فراصوت سبب تغییر قوام و گرانروی نمونه‌ها شد ولی اثر آن در نمونه‌های تیمار شده به قدری کم بود (شکل ۵) که ارزیاب‌ها قادر به تشخیص این تفاوت‌ها نبودند.

از لحاظ ویژگی رنگ نیز در این تحقیق نمونه‌های شیر کاکائو تیمار شده با امواج فراصوت کم رنگ‌تر از نمونه شاهد و امتیاز بالاتری نسبت به نمونه شاهد کسب کرده بودند. همانطور که قبل از بیان شد دلیل آن احتمالاً کوچک‌تر شدن ذرات چربی و کاکائو توسعه امواج فراصوت می‌باشد. با کوچک‌تر شدن ذرات چربی و کاکائو پراکنش نور افزایش می‌یابد و این تغییر منجر به افزایش ضریب L^* می‌گردد.

منابع

- محمدی، س. عباسی، س. حمیدی، ز.، ۱۳۸۹، تاثیر برخی هیدروکلوفیدها روی پایداری فیزیکی، ویژگی‌های رئولوژیکی و حسی مخلوط شیر-آب پرتفال، مجله علوم تغذیه و صنایع غذایی ایران، جلد ۵، شماره ۴، ص ۱ تا ۱۲.
- قبادی، ز. عباسی، س.، ۱۳۸۸، امواج فراصوت: ویژگی‌ها، روش تولید و کاربردها در فراوری مواد غذایی، فصل‌نامه مهندسی کشاورزی و منابع طبیعی، جلد ۶، شماره ۲۴، ص ۱۲ تا ۱۸.
- آذری، س. عباسی، س. عزیزی، م.ح.، ۱۳۸۷، تعیین کارایی دو روش تولید ریزکپسول‌های آهن و ارزیابی اثرات افزودن آن‌ها روی برخی ویژگی‌های شیر پاستوریزه، مجله علوم تغذیه و صنایع غذایی ایران، جلد ۴، شماره ۴، ص ۵۷ تا ۶۹.
- فروغی‌نیا، س. عباسی، س. حمیدی، ز.، ۱۳۸۶، تاثیر افزودن تکی و ترکیبی صوغ‌های کتیرا، ثعلب و گوار در پایدارسازی دوغ، مجله علوم تغذیه و صنایع غذایی ایران، جلد ۲، شماره ۲، ص ۱۵ تا ۲۵.
- عباسی، س. رحیمی، س.، ۱۳۸۴، بررسی تاثیر غلظت، دما، پهاش و سرعت چرخشی روی رفتار جریان محلول صمغ کتیرای ایرانی، مجله علوم و صنایع غذایی ایران، جلد ۲، شماره ۴، ص ۲۹ تا ۴۲.
- Abbasi, S., and Dickinson, E., 2004. Gelation of i-carrageenan and micellar casein mixtures under high hydrostatic pressure. *J Agric Food Chem*, 52, 1705–1714.
- Abbasi, S., and Dickinson, E., 2002. Influence of high-pressure treatment on gelation of skim milk powder + low methoxyl pectin dispersions. *High Pressure Research*, 22, 643–647.
- Ahmed, J., Ramaswamy, H., Kasapis, S., and Boye, J., 2010. Novel Food Processing Effects on Rheological and Functional Properties. Taylor and Francis Group; pp. 65–98.
- Azarikia, F., and Abbasi, S., 2010. Investigation of the efficiency and mechanisms of some hydrocolloids on the stabilization of Doogh. *Food Hydrocoll*, 24, 358–363.
- Bermudez-Aguirre, D., Mawson, R., Versteeg, C., Barbosa-Canovas, G., 2009. Composition properties, physicochemical characteristics and shelf life of whole milk after thermal and thermo-sonication treatments. *J Food Quality*, 32, 283–302.
- Bermudez-Aguirre, D., Mawson, R., Barbosa, G.V., 2008. Microstructure of fat globules in whole milk after thermosonication treatment. *J Food Sci*, 73, 325–332.
- Bosiljkov, T., Brnčić, M., Tripalo, B., Karlović, S., Ukrainczyk, M., Ježek, D., 2009. Impact of ultrasound-enhanced homogenization on physical properties of soy bean milk. *Chem Eng Transaction*, 17, 1–6.

- Chambers, L.A., 1937. Sonic homogenization of milk and ice cream. *J Dairy Sci*, 20, 450–451.
- Clark, S. 2009. *The Sensory Evaluation of Dairy Products*. Springer; pp. 119–120.
- Ertugay, M.F., and Sengul, M., 2004. Effect of ultrasound treatment on milk homogenisation and particle size distribution of fat. *Turk J Vet Anim Sci*, 28, 303–308.
- Herceg, Z., Lelas, V., Jambrak, A., Muža, M., Batur, V., and Badanjak M., 2009. Mogućnost primjene ultrazvuka visokog snage u mljekarskoj industriji. *Mljekarstvo*, 59, 65–69.
- Knorr, D., Zenker, M., Heinz, V., and Lee, D., 2004. Applications and potential of ultrasonics in food processing. *Trends Food Sci Technol*, 15, 261–266.
- Mazzoccoli, J.P., 2010. Ultrasonication of polysaccharide materials [PhD dissertation]. USA: Ohio, Case Western Reserve University.
- Mitschka, P. 1982. Simple conversion of Brookfield R.V.T. readings into viscosity functions. *Rheologica Acta*, 21, 207–209.
- Patist, A., and Bates, D., 2008. Ultrasonic innovations in the food industry: from the laboratory to commercial production. *Innov Food Sci Emerg Technol*, 9, 147–154.
- Riener, J., Noci, F., Cronin, D.A., Morgan, D.J., Lyng, G.J., 2009a. The effect of thermosonation of milk on selected physicochemical and microstructural properties of yoghurt gels during fermentation. *Food Chem*, 114, 905–911.
- Riener, J., Noci, F., Cronin, D.A., Morgan, D.J., and Lyng, G.J., 2009b. Characterization of volatile compounds generated in milk by high intensity ultrasound. *Intl Dairy J*, 19, 269–272.
- Riener, J., Noci, F., Cronin, D.A., Morgan, D.J., and Lyng, G.J., 2010. A comparison of selected quality characteristics of yoghurts prepared from thermosonicated and conventionally heated milks. *Food Chem*, 119, 1108–1113.
- Soria, A.C., and Villamiel, M., 2010. Effect of ultrasound on the technological properties and bioactivity of food: a review. *Trends Food Sci Technol*, 21, 323–331.
- Spreer, E., and Mixa, A., 1998. *Milk and Dairy Product Technology*. Marcel Dekker, pp. 182–189.
- Sun, D.W., 2005. *Emerging Technologies for Food Processing*. Elsevier Academic Press; pp. 323–344.
- Syrbe, A., Bauer, W.J., and Klostermeyer, H., 1998. Polymer science concepts in dairy systems: an overview of milk protein and food hydrocolloid interaction. *Intl Dairy J*, 8, 179–193.
- Tornberg, E., and Lundh, G., 1978. Functional characterization of protein stabilized emulsions: standardized emulsifying procedure. *J Food Sci*, 43, 1553–1558.
- Wu, H., Hulbert, G.J., and Mount, J., 2001. Effects of ultrasound on milk homogenization and fermentation with yogurt starter. *Innov Food Sci Emerg Technol*, 1, 211–218.
- Yanes, M., Duran, L., and Costell, E., 2002. Rheological and optical properties of commercial chocolate milk beverages. *J Food Eng*, 51, 229–234.